

Fig. 1

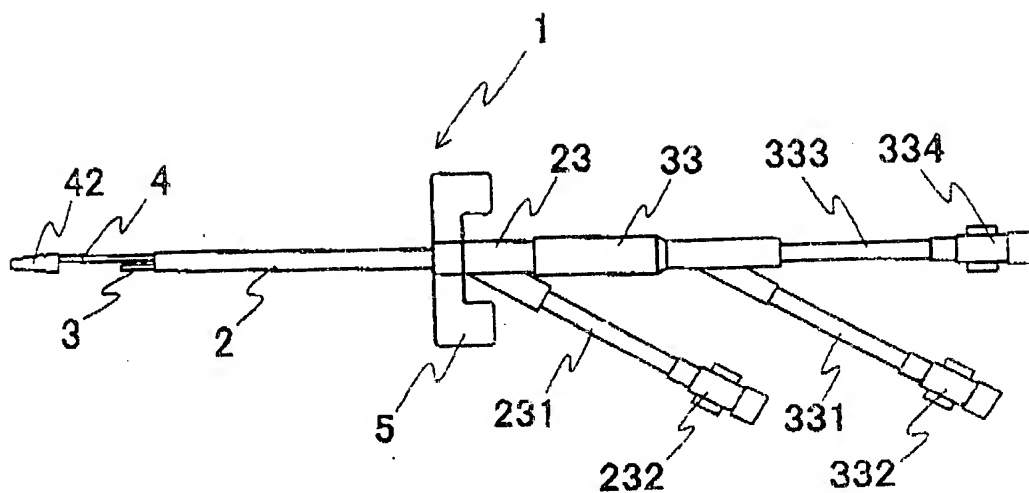


Fig. 2

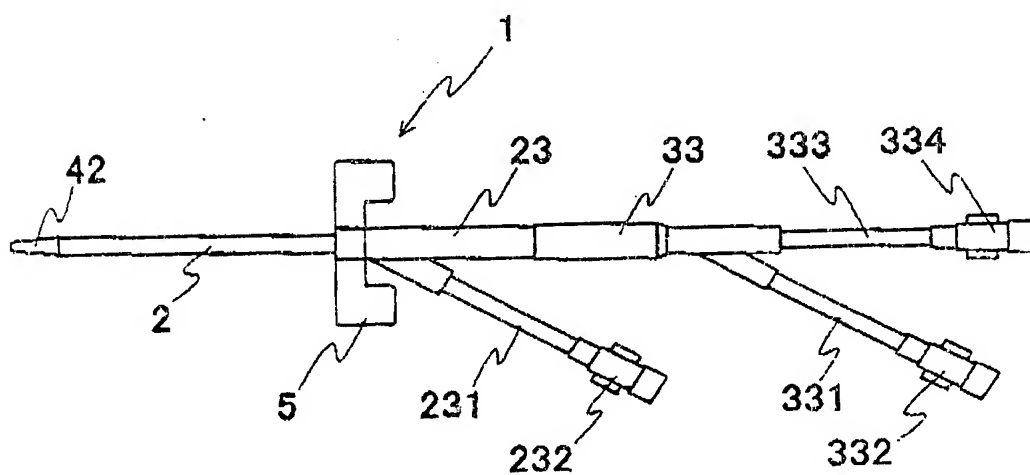


Fig. 3

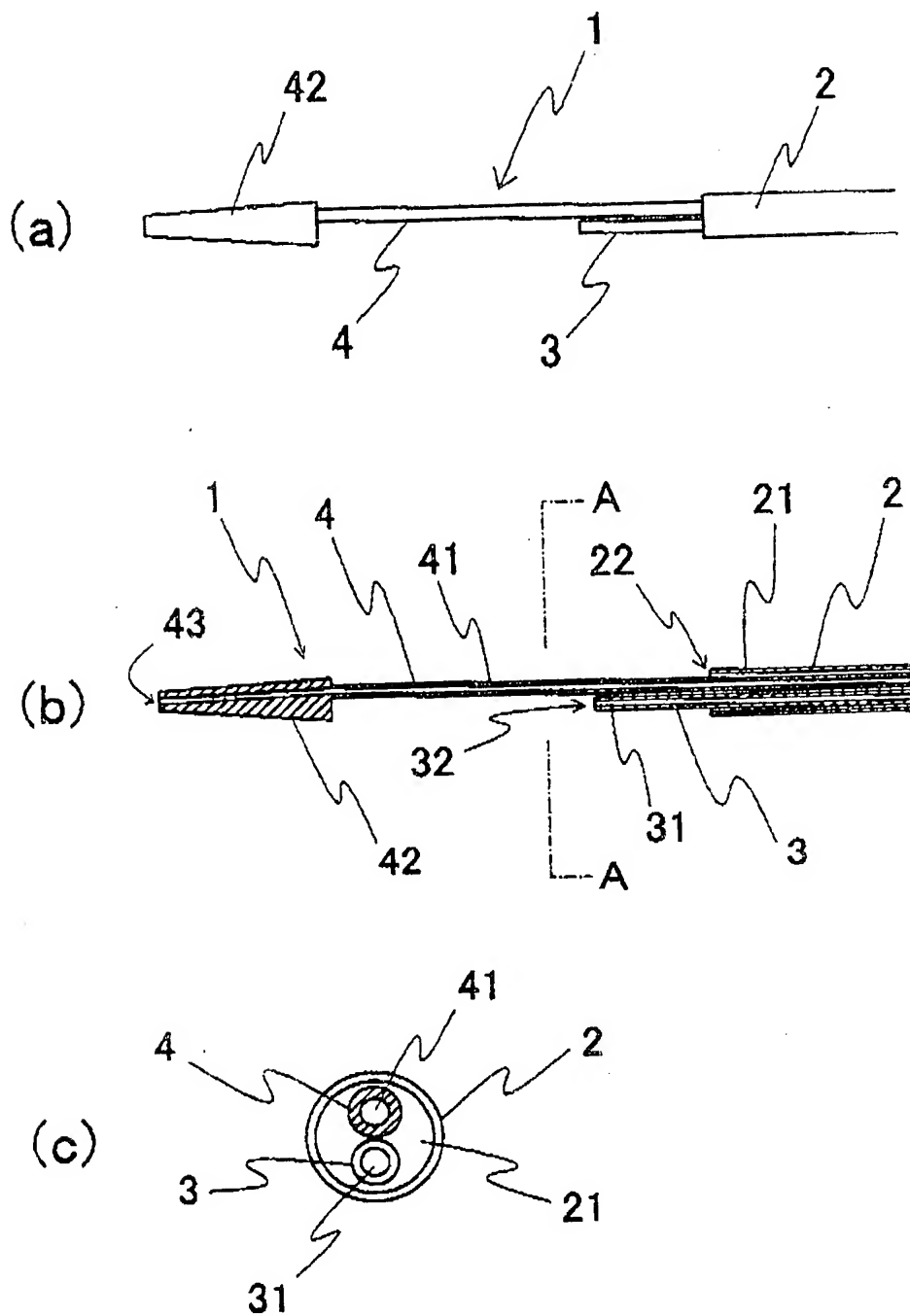


Fig. 4

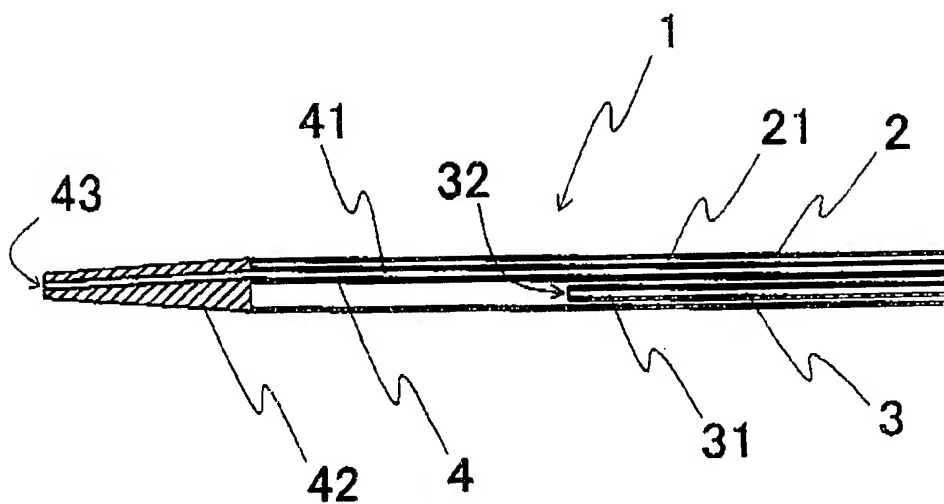


Fig. 5

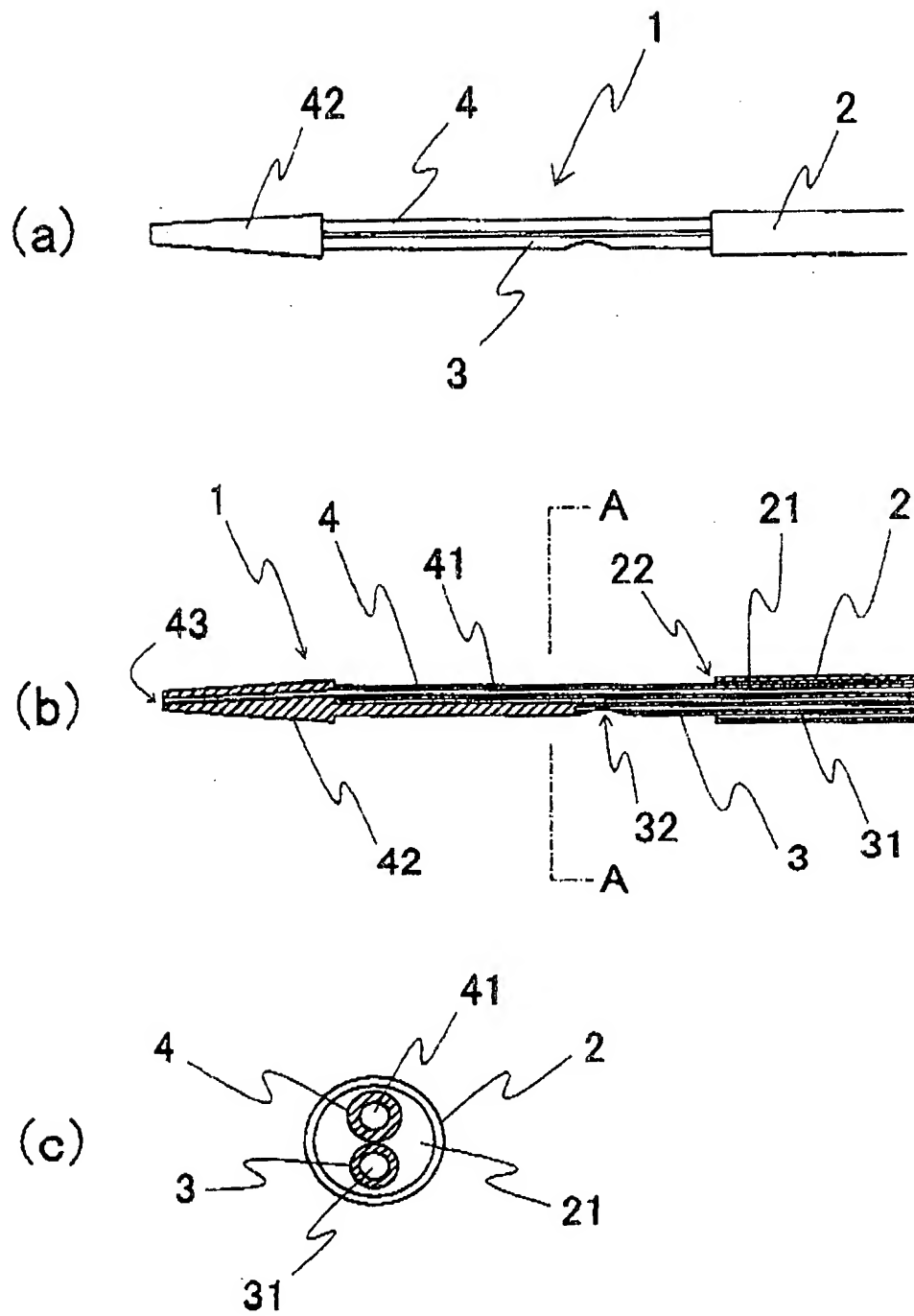


Fig. 6

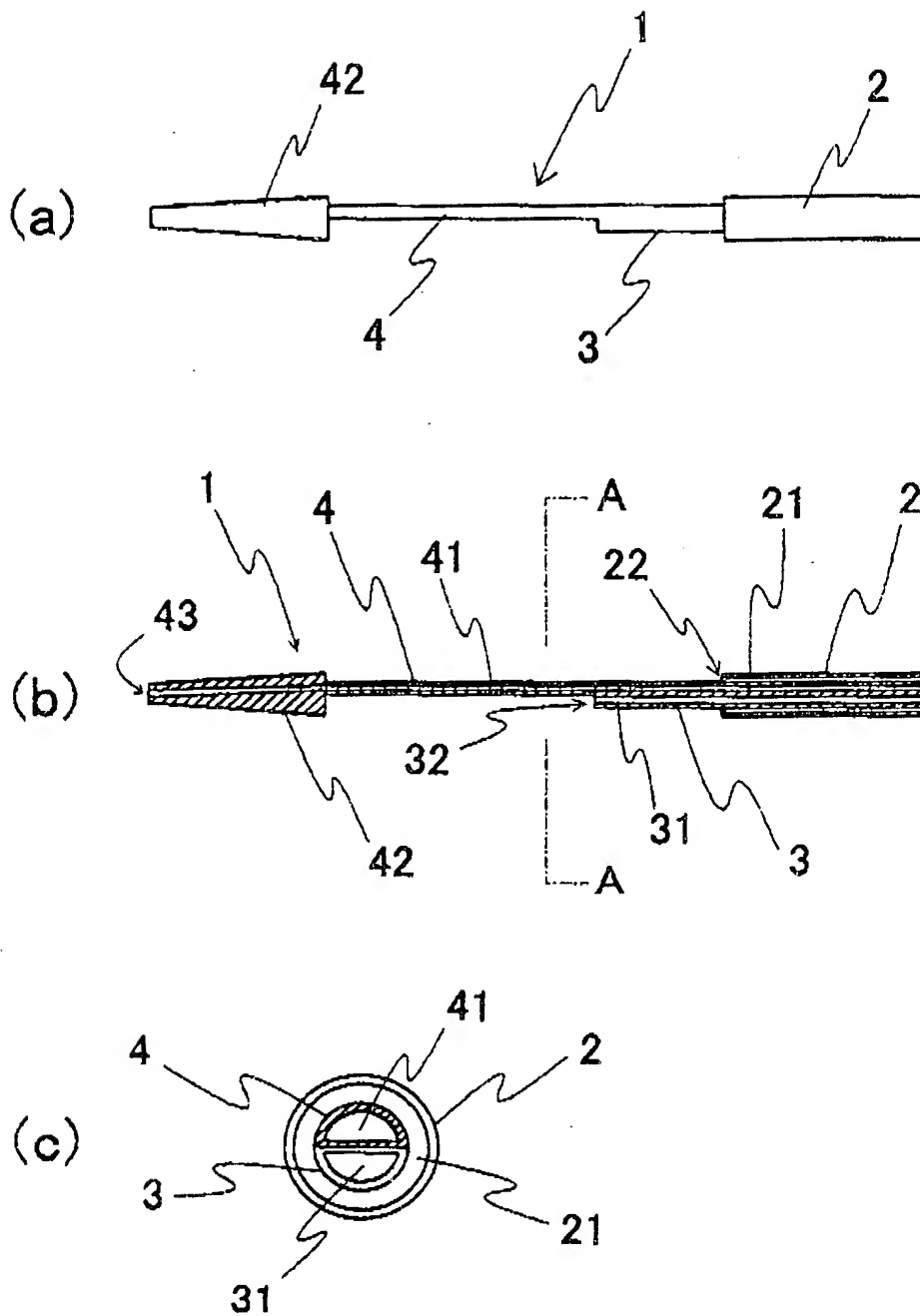


Fig. 7

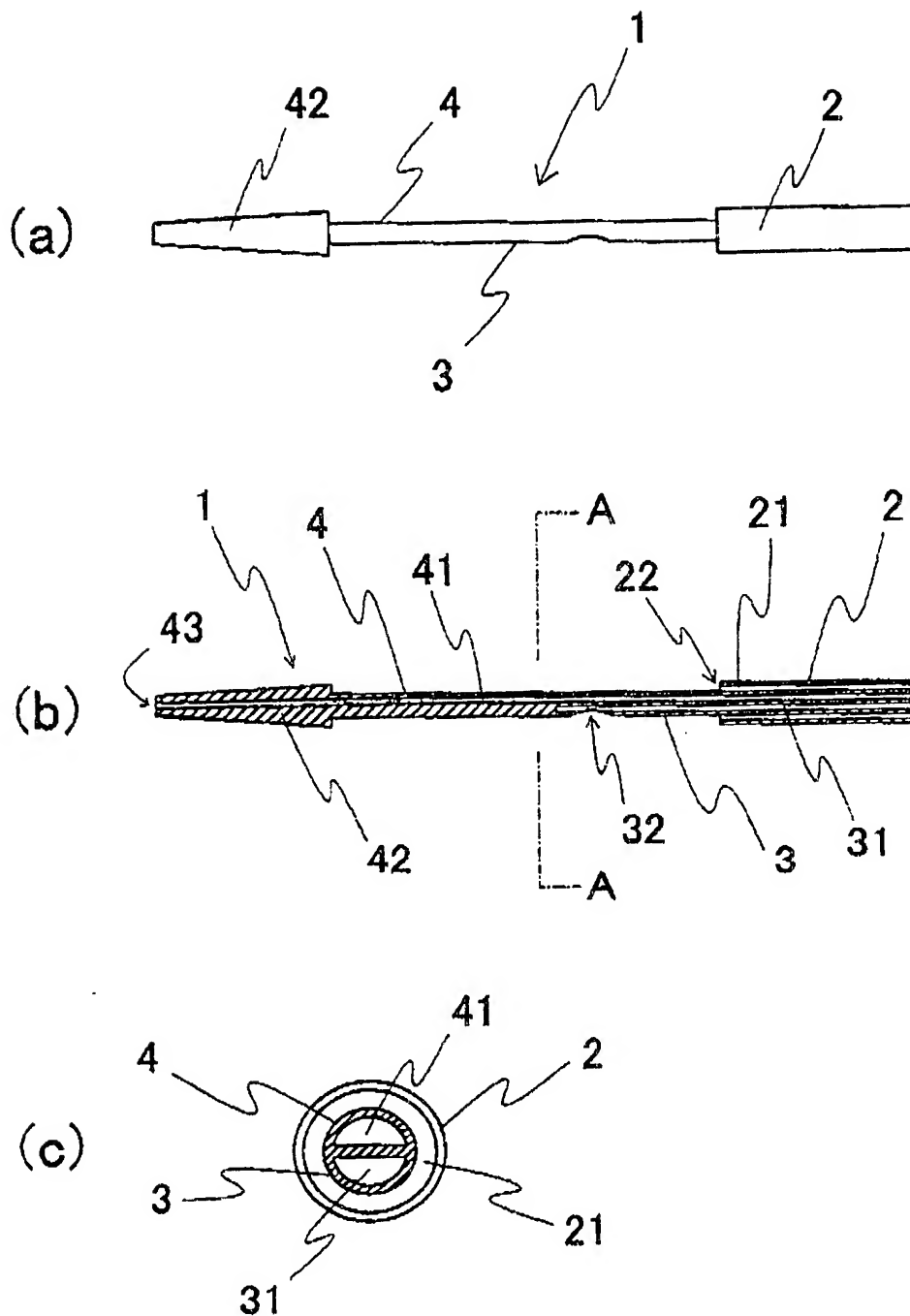


Fig. 8

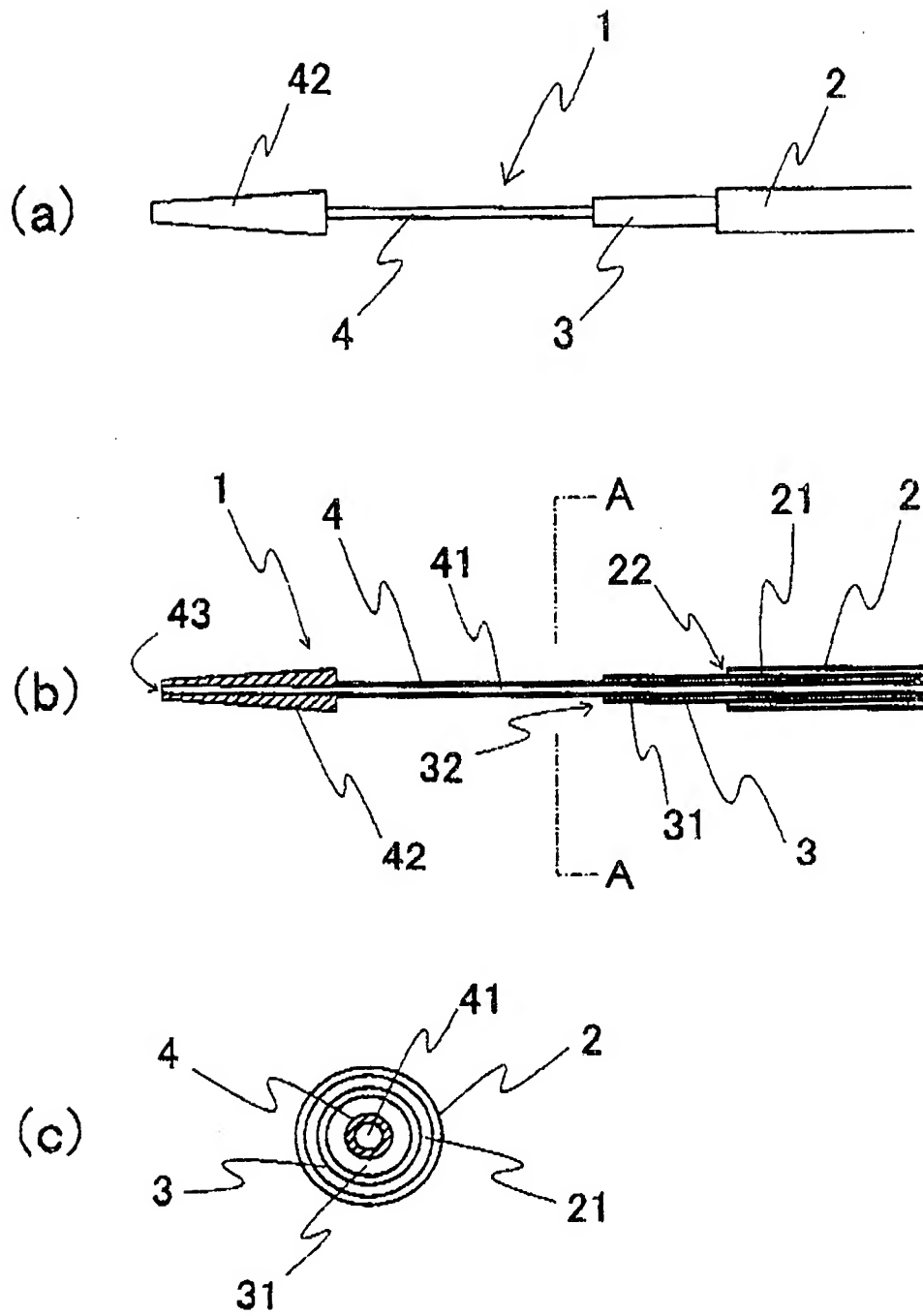


Fig. 9

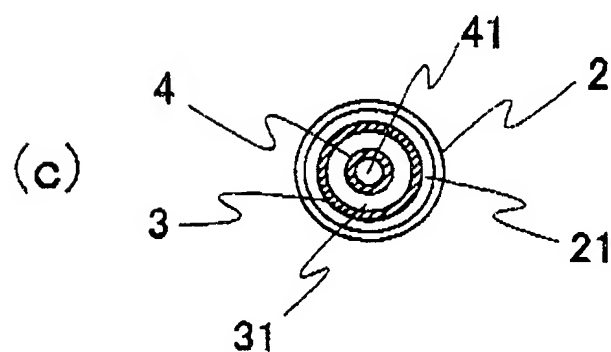
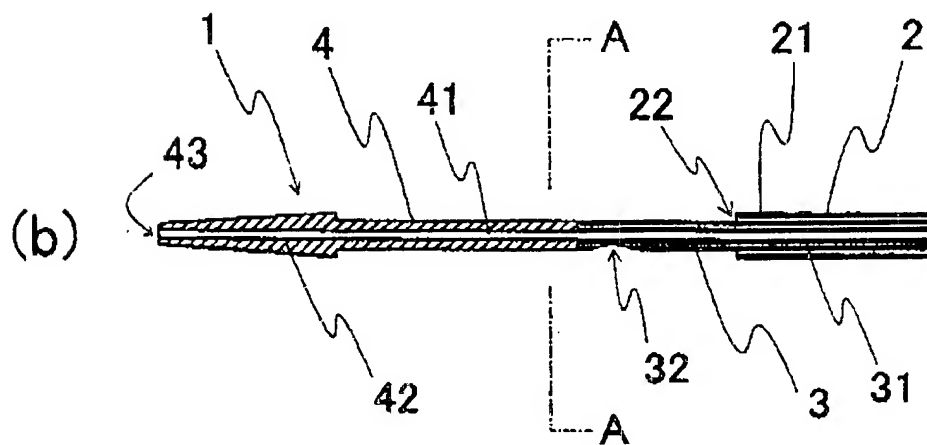
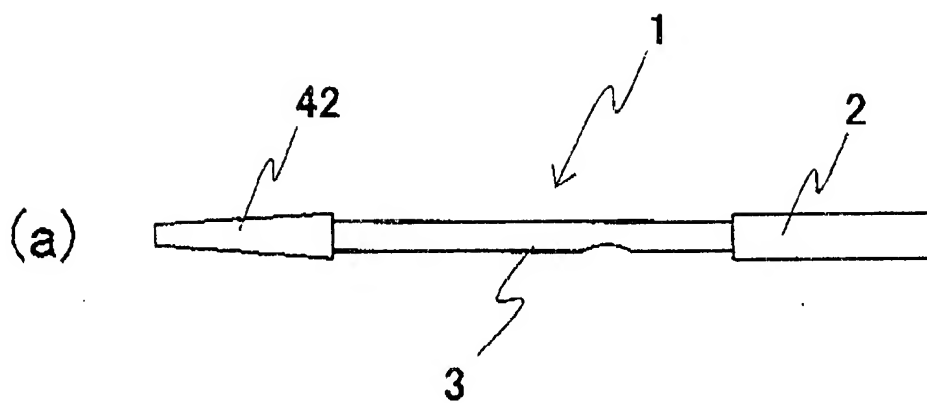




Fig. 10

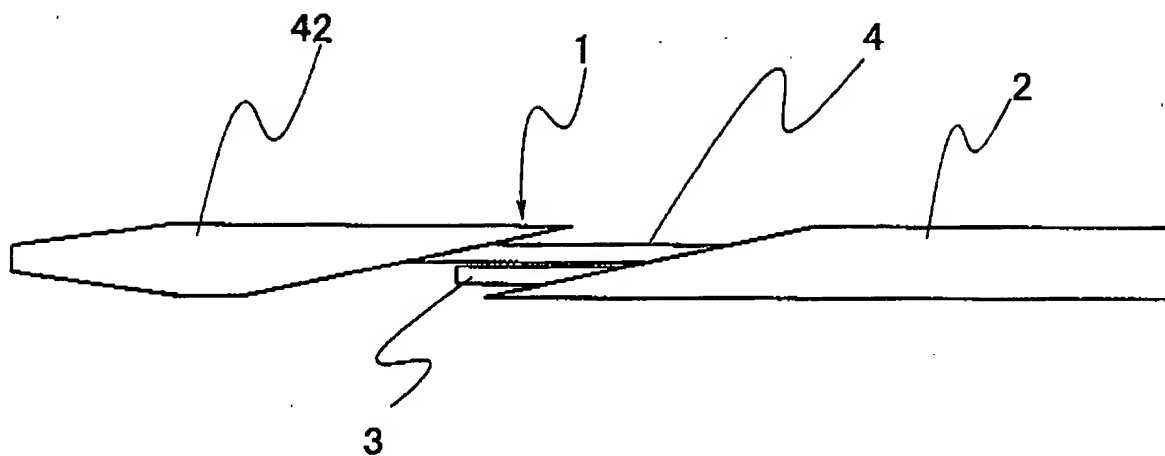


Fig. 11

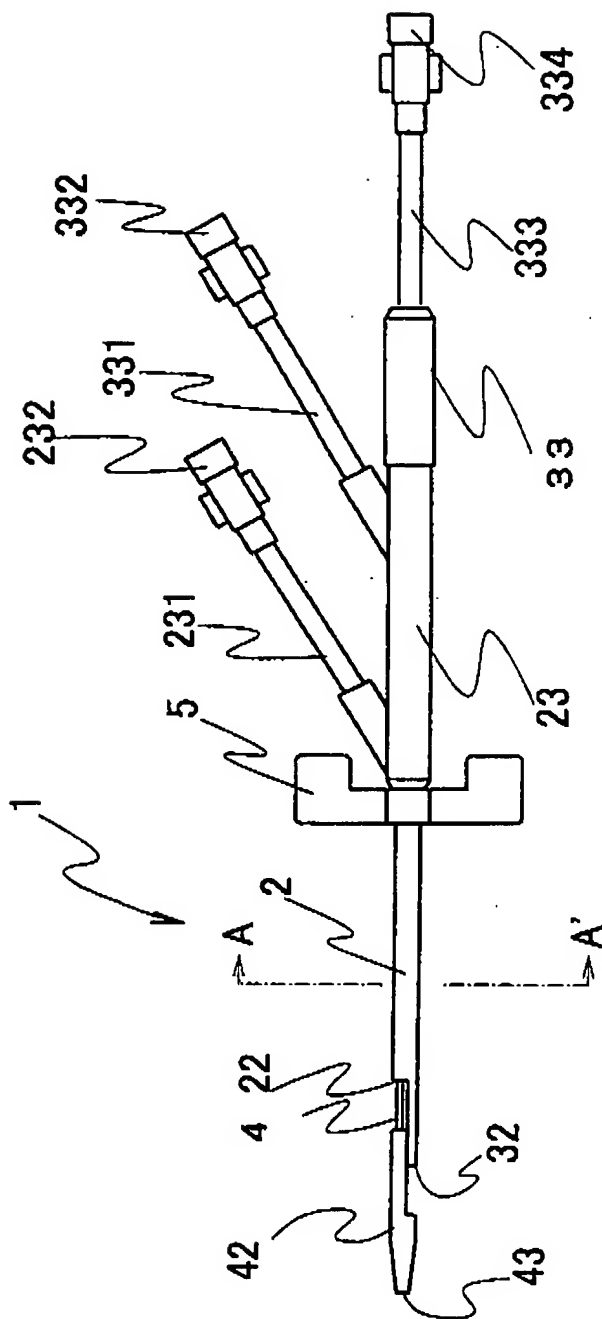


Fig. 12

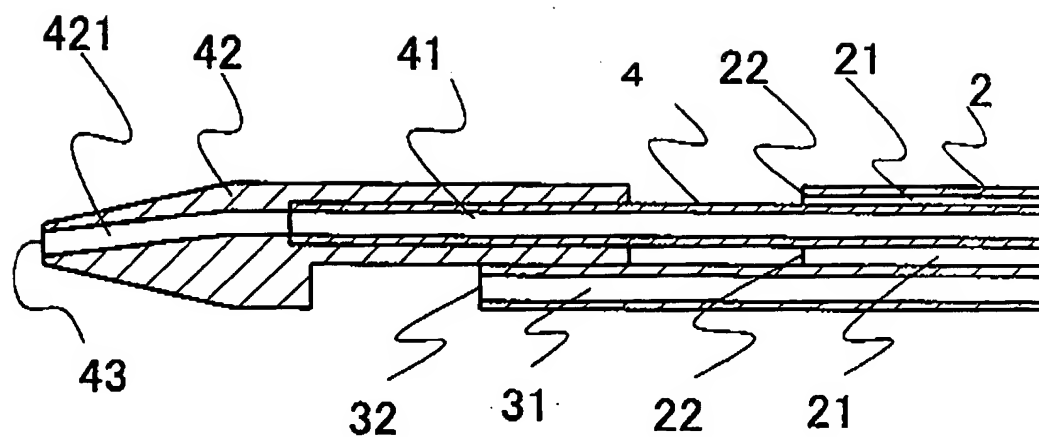


Fig. 13

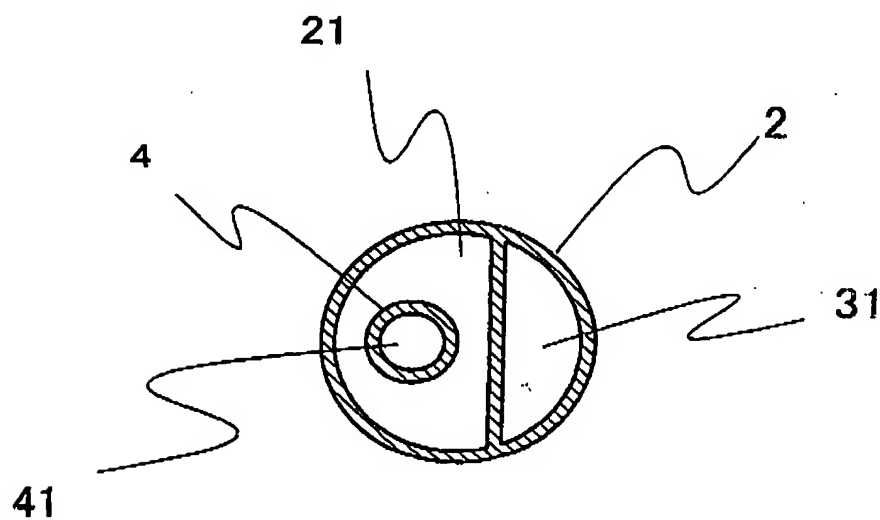


Fig. 14

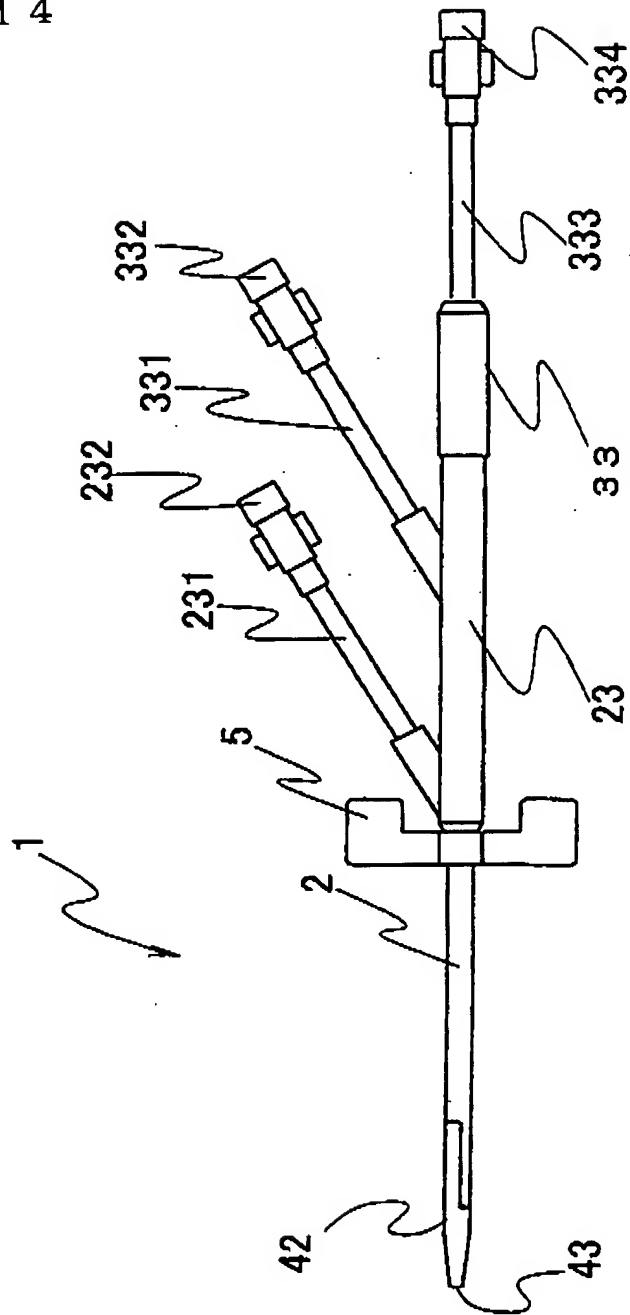


Fig. 15

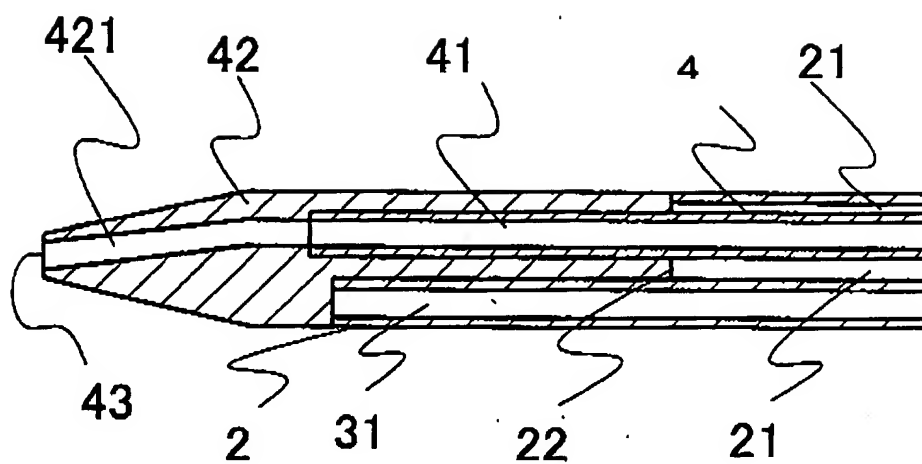


Fig. 16

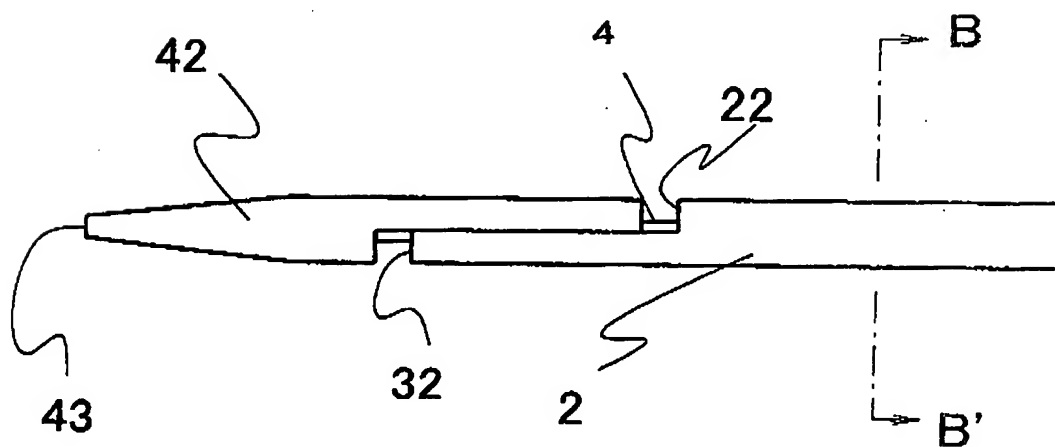


Fig. 17

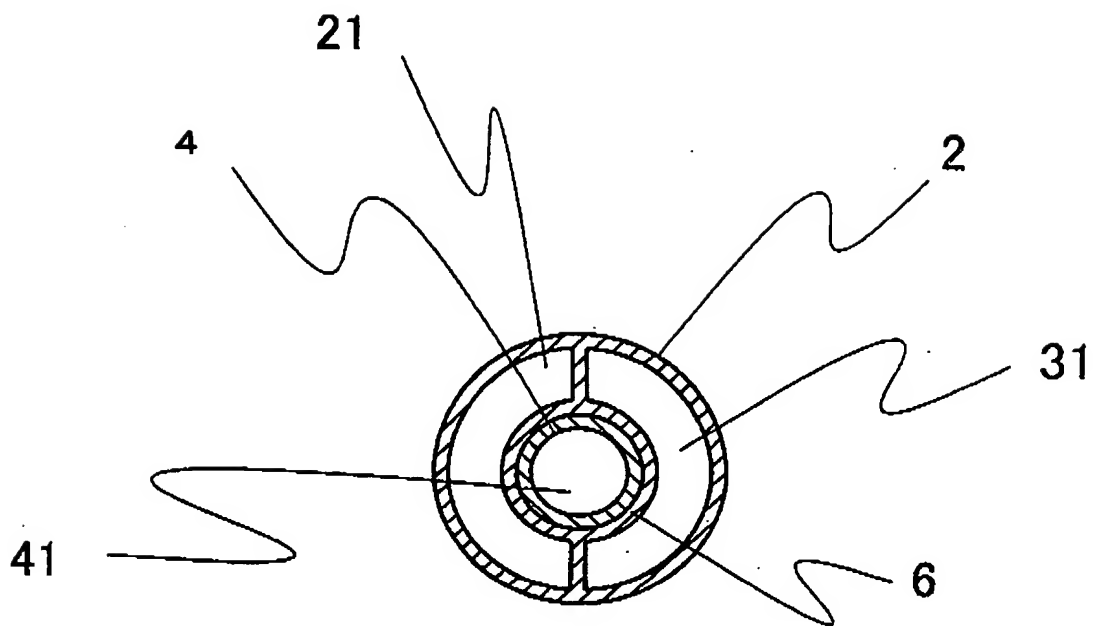


Fig. 18

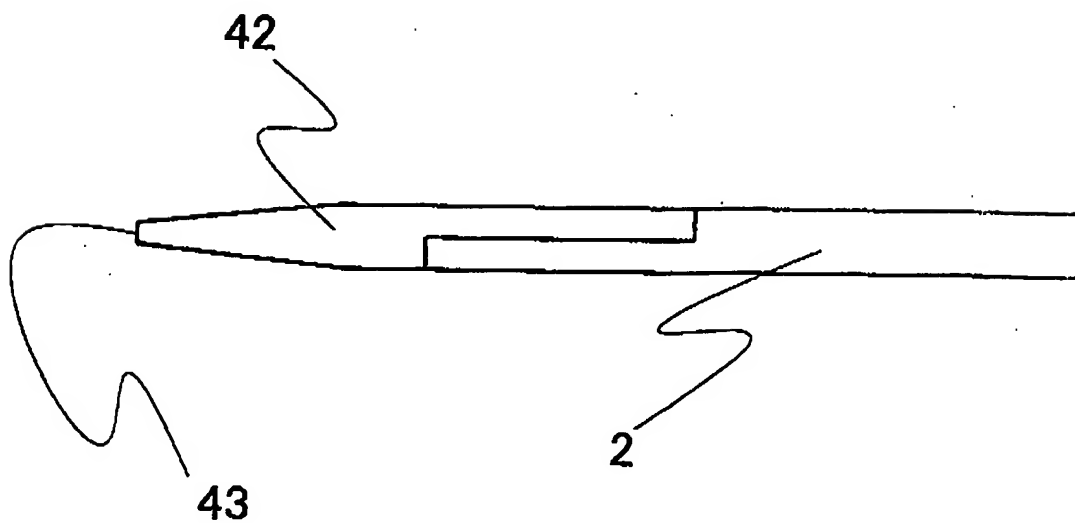


Fig. 19

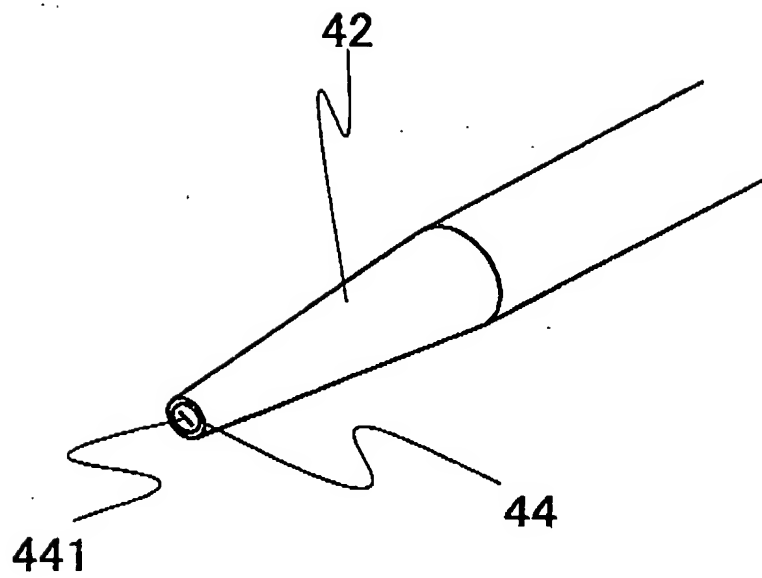


Fig. 20

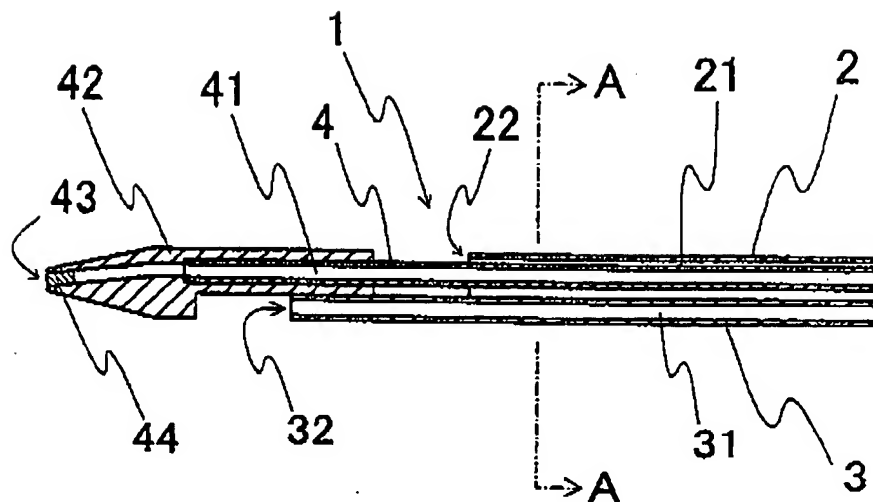


Fig. 21

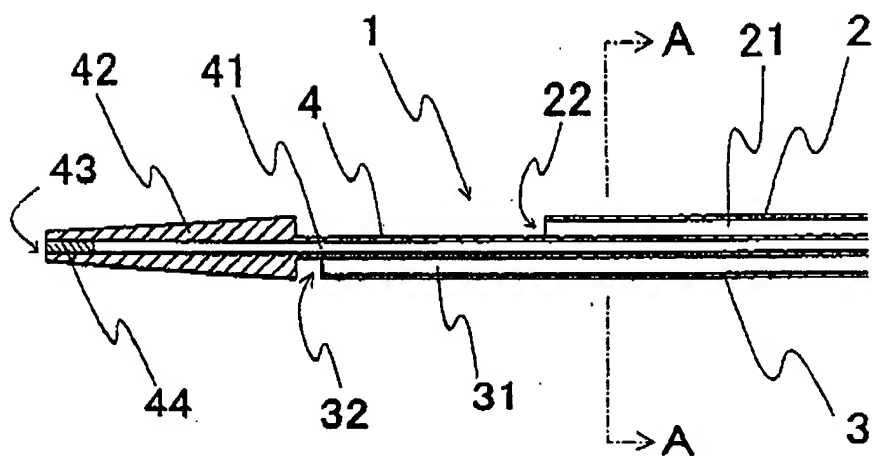




Fig. 22

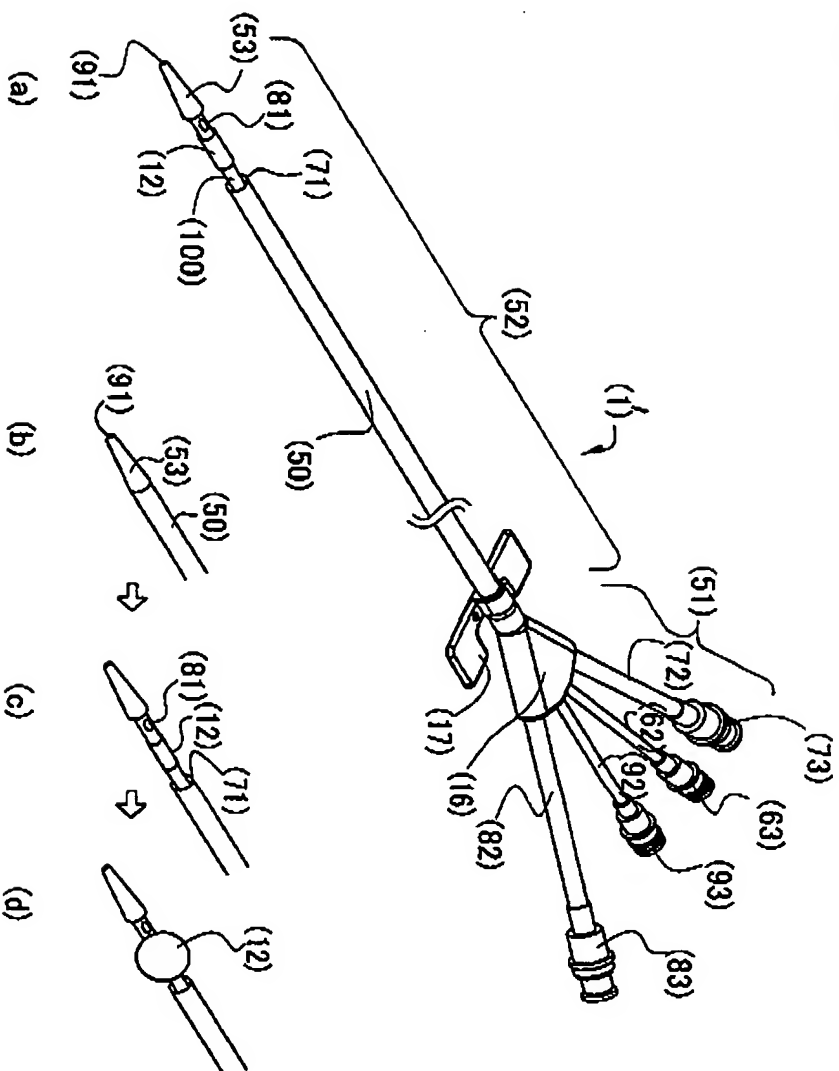


Fig. 23

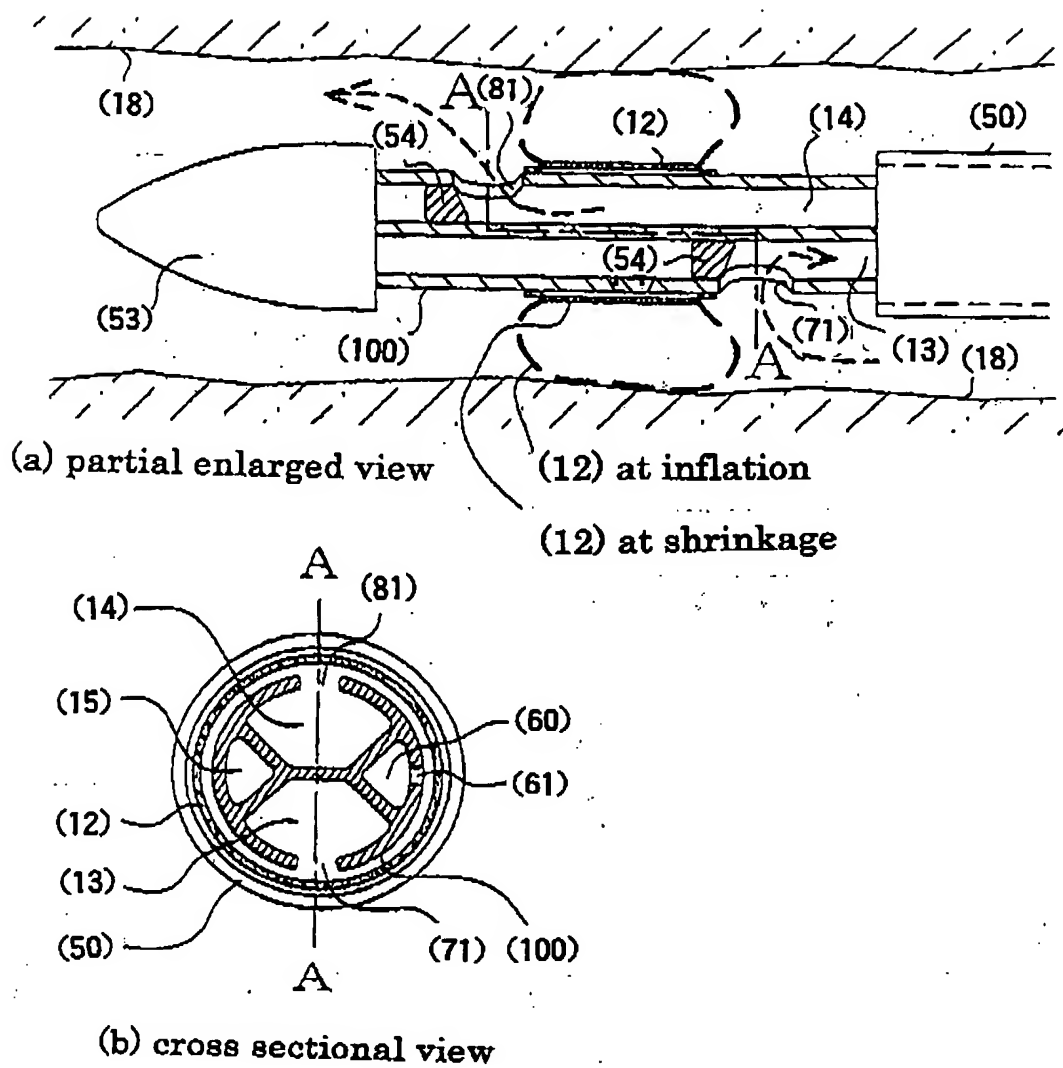
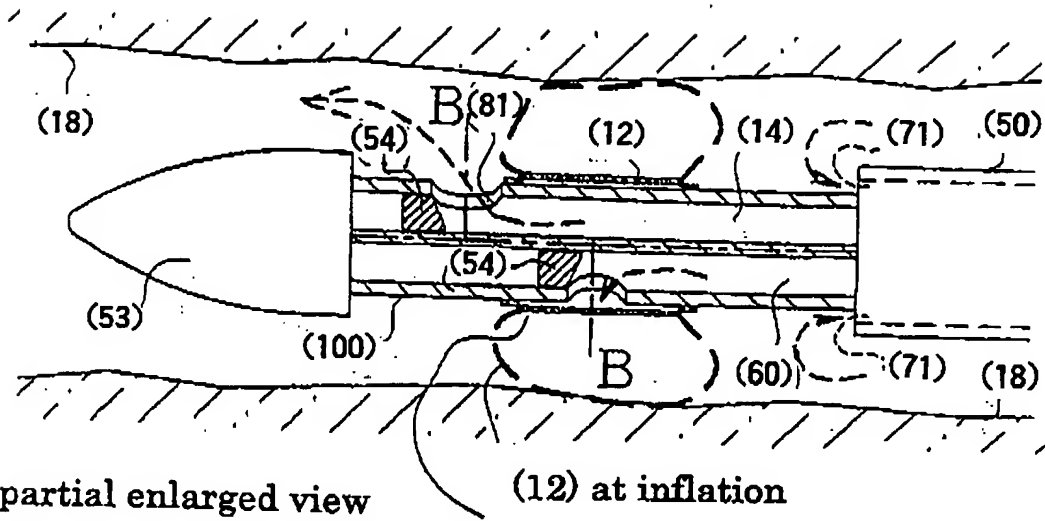


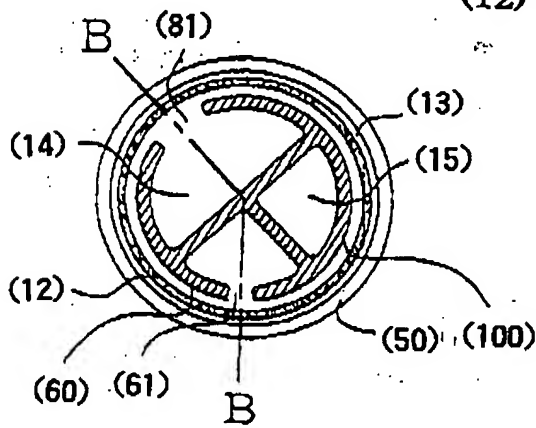
Fig. 24



(a) partial enlarged view

(12) at inflation

(12) at shrinkage



(b) cross sectional view

Fig. 25

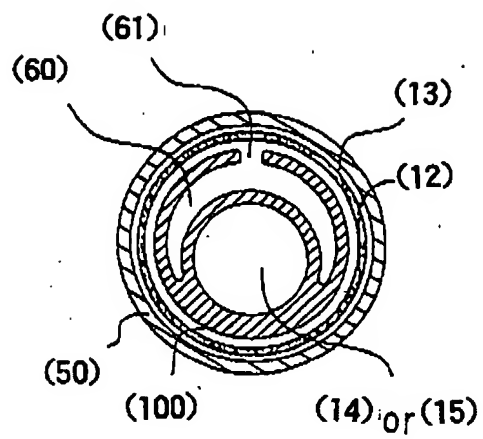


Fig. 26

